

## II-255 三角形突起の圧力抵抗と後流について

佐賀大学理工学部 正員 ○渡辺 訓南  
 " " 荒木 宏文

### 1. まえがき

三角形状の突起の圧力抵抗については、既に石川<sup>1)</sup>が風洞中での実験結果をもとに詳細な検討を行なっている。しかし、開水路においては突起に同調して水面が変化し、特に、突起高・水深比が大きい場合には、低フレード数の流れであるとも、その影響が無視できなくなると思われる。また、突起の後流も壁面の存在のために、自由乱流中のそれとは性質が異なることが予想される。本文は、單一の突起を用いて、圧力抵抗と後流に関する実験的な考察を加えたものである。

### 2. 実験

幅30cm、長さ6mの開水路のほぼ中央に、図-1の様なduneをモデル化した三角形突起( $H/L = 1/5, 1/20$ )を一個設置して、表面の圧力分布を測定した。表-1の5例については、再付着点より1mの間、13断面で鉛直流速分布も測定されている。Run 4, 24については水路底に平均径 $d = 2.01\text{mm}$ の鉛玉を密に敷いて粗面とした。

### 3. 圧力分布

流れを potential flow とみなし、静水圧分布を仮定すると、高さ $y$ における背面と前面との圧力差 $\Delta P$ は、ベルヌーイの式

$$\text{const.} = \frac{U^2}{2g} + \frac{P}{\rho g} + y \quad (1)$$

を用いて

$$C_p = \frac{\Delta P / \rho g}{U^2 / 2g} = \frac{1}{S_0^2} - \frac{1}{S^2}, S = h/x \quad (2)$$

と表わされる。<sup>2)</sup>ここに、 $P$ は背面の圧力、 $S_0$ は背面上任意断面の、 $S$ は接線断面の断面平均流速及び水深である。図-2に圧力分布の測定例を示す。一実録線は実測水深を用いて、また、破線は水面変化を無視して式(2)を計算したもので、工流側で実測値と一致させた。 crest の付近では局所的に圧力が降下しており、式(2)では表わせないが、図の $C_{p0}$ で代表させると、近似的に、

$$C_p = \frac{1}{S_0^2} - \frac{1}{S^2} + C_{p0} \quad (3)$$

となる。 $S$ を運動方程式の解として与えると、圧力抵抗係数 $C_D$ は

$$C_D = \frac{1}{S_0^2} - \left(\frac{H}{L}\right)^2 \left\{ \left(\frac{1}{S_0} - 1\right) - 4F_r^2 \left(\frac{1}{S_0} - 1\right) \right\} + C_{p0} \quad (4)$$

で与えられる。ここに、 $F_r = U/\sqrt{gh}$ である。なお、 $C_{p0}$ の実測値は図-3の様である。平均的には石川の与えた式

$$C_{p0} = 0.13 / (1 - \frac{H}{h})^2 \quad (5)$$

が成立している。図-4は $F_r$ をパラメーターとして式(4)を計算して

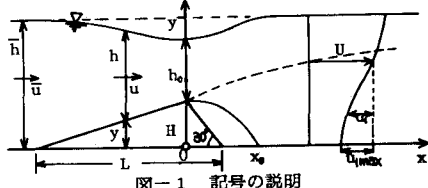


図-1 記号の説明

Run	H/cm	L/cm	粗・滑
1, 2	1	15	滑
3	1	20	滑
4	1	20	粗
24	2	40	粗

表-1

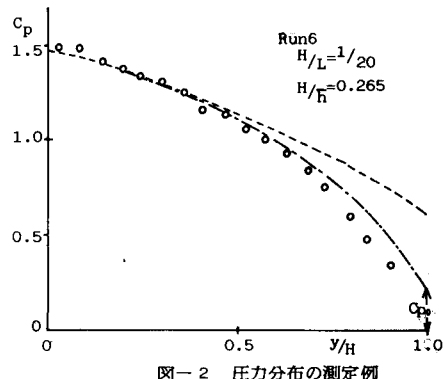


図-2 圧力分布の測定例

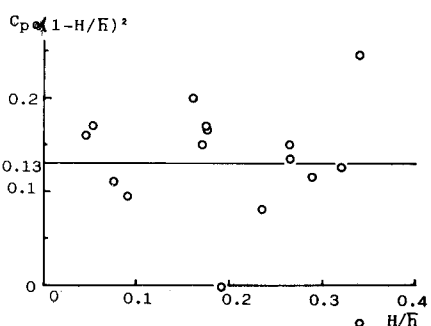


図-3 前面の圧力降下

結果で、実測値の傾向をよく表わしている。抵抗は  $H/h$  が大きくなると急激に増大してあり、水面変化を無視すると（図中破線）、抵抗を過小に見積ることになる。

#### 4. 後流

突起の後流と、流速  $U$  の一樣流中にあがれた二次元物体の後流と中心線で分割した半平面工の流れとみなす。物体近くの流れを対象とする目的で、通常の後流解を、

①再付着点で流速 0、②後流幅は

$creat$  の位置で突起高さ  $\delta$  という条件を付加して修正すると、流速分布、最大欠損流速及び後流幅はそれぞれ次式の様になる。<sup>3)</sup>

$$\frac{u_1}{U} = \frac{u_{1max}}{U} \left(1 - \frac{\beta^2}{2}\right)^2, \quad u_1 = U - u \quad (6)$$

$$\frac{u_{1max}}{U} = \frac{120}{18\beta} \left\{ 5 - \xi_0 + \left(\frac{120}{18\beta}\right)^2 \right\}^{-\frac{1}{2}} \quad (7)$$

$$\frac{b}{Ch} = \sqrt{20\beta} \left\{ \xi + \left(\frac{120}{18\beta} C_D\right)^2 \right\}^{\frac{1}{2}} \quad (8)$$

ここに、 $\xi = y/b$ ,  $\xi = z/C_D h$ ,  $\xi_0 = z_0/C_D h$ ,  $\beta = l/b$  ( $l$ :混合距離) である。 $b$  及び  $u_{1max}$  の実測値は式(6)より  $y^{\frac{1}{2}} \sim U^{\frac{1}{2}}$  なることを利用して求めた。図-4 は  $\beta = 0.18$  として式(8)と実測値とを比較したものである。後流の規模は自由乱流の場合とほぼ同程度とみなせるが、粗面では  $x/H = 40$  程度より下流で、後流の性質を急速に失なっていく様である。図-6 に最大欠損流速の遞減を示す。実線は式(7)において、滑面の場合に  $\beta = 0.075$ 、粗面の場合に  $\beta = 0.12$  としたものである。

このことは、壁面近傍では壁面の存在のために乱れがさえられ、混合距離が小さくなっていることを示しており、壁面噴流の混合距離が、自由噴流のそれの約 0.4 倍程度になる<sup>4)</sup> ということに対応している。粗面では滑面の場合より 6 割程度大きくなっているが、 $a/H$  による差異はみられなかった。

#### 5. おわりに

水面変化が圧力抵抗に及ぼす影響がある程度明らかになった。連続波の場合においても  $H/h$  が大きいと、水面波の影響が無視できないと思われる。突起の後流は壁面のため混合距離が自由乱流のそれよりも小さくなるが、その分布については現在明らかでない。修正された後流の式は、河床波などのように有効間隔の小さい場合に適用できるものと思われる。

〈参考文献〉 1) 利川・石川：工学会論文報告集, vol. 281, 1979. 2) 渡辺・荒木・市原：昭和 54 年度西部支部年譲, 1982.

3) 荒木・渡辺：昭和 54 年度西部支部年譲, 1980. 4) 斎藤：学位論文, 1978.

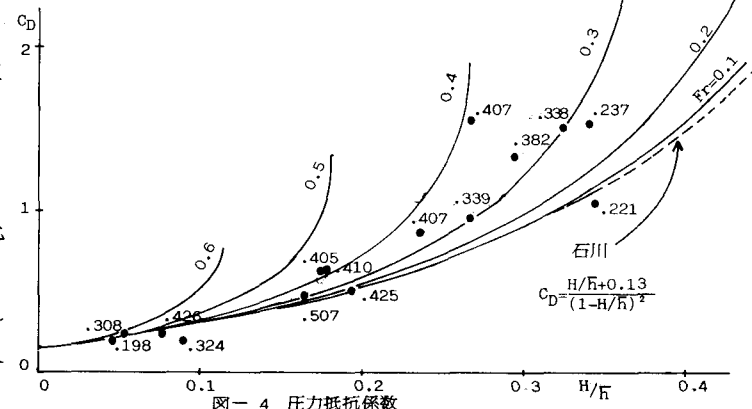


図-4 圧力抵抗係数

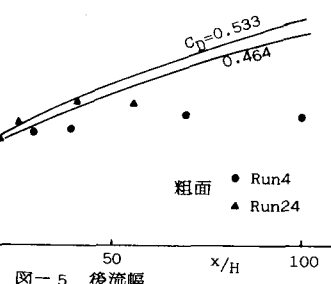
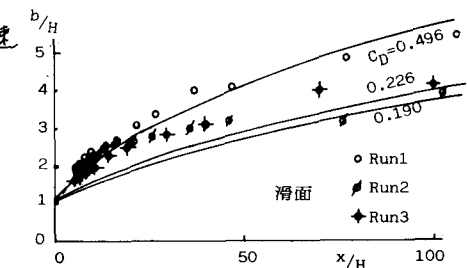


図-5 後流幅

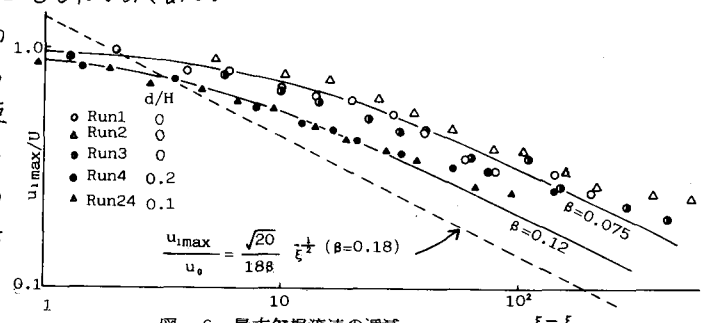


図-6 最大欠損流速の遞減